

## TT 25 F, TD 25 F, DT 25 F

## Elektrische Eigenschaften Electrical properties

Höchstzulässige Werte	Maximum rated values			
Periodische Vorwärts- und Rückwärts-Spitzenperrspannung	repetitive peak forward off-state and reverse voltages	$t_{vj} = -40^\circ\text{C} \dots t_{vj,\text{max}}$	$V_{\text{DRM}}, V_{\text{RRM}}$	800, 1000 V 1100 V 1200 V
Vorwärts-Stoßspitzenspannung	non repetitive peak forward off-state voltage	$t_{vj} = -40^\circ\text{C} \dots t_{vj,\text{max}}$	$V_{\text{DSM}} = V_{\text{DRM}}$	
Rückwärts-Stoßspitzenspannung	non repetitive peak reverse voltage	$t_{vj} = +25^\circ\text{C} \dots t_{vj,\text{max}}$	$V_{\text{RSM}} = V_{\text{RRM}}$	+ 100 V
Durchlaßstrom-Grenzeffektivwert Dauergrenzstrom	RMS on-state current average on-state current	$t_C = 85^\circ\text{C}$ $t_C = 71^\circ\text{C}$	$I_{\text{TRMSM}}$ $I_{\text{TAVM}}$	50 A 25 A 32 A
Stoßstrom-Grenzwert	surge current	$t_{vj} = 25^\circ\text{C}, t_p = 10 \mu\text{s}$ $t_{vj} = t_{vj,\text{max}}, t_p = 10 \mu\text{s}$ $t_{vj} = 25^\circ\text{C}, t_p = 10 \mu\text{s}$ $t_{vj} = t_{vj,\text{max}}, t_p = 10 \mu\text{s}$	$I_{\text{TSM}}$ $f^2dt$	520 A 460 A 1350 A <sup>2</sup> s 1060 A <sup>2</sup> s
Grenzlastintegral	$f^2dt$ -value	$V_D \leq 67\% V_{\text{DRM}}, f_0 = 50 \text{ Hz}$ $V_L = 8 \text{ V}, i_{\text{GM}} = 0,6 \text{ A}, di_G/dt = 0,6 \text{ A}/\mu\text{s}$	$(di/dt)_{\text{cr}}$	100 A/ $\mu\text{s}$
Kritische Stromsteilheit	critical rate of rise of on-state current	$t_{vj} = t_{vj,\text{max}}, V_D = 67\% V_{\text{DRM}}$	$(dv/dt)_{\text{cr}}$	<sup>1)</sup> 50 V/ $\mu\text{s}$ <sup>2)</sup> 500 V/ $\mu\text{s}$
Kritische Spannungssteilheit	critical rate of rise of off-state voltage	6. Kennbuchstabe/6th letter B 6. Kennbuchstabe/6th letter C 6. Kennbuchstabe/6th letter L 6. Kennbuchstabe/6th letter M		500 V/ $\mu\text{s}$ 500 V/ $\mu\text{s}$ 1000 V/ $\mu\text{s}$

## Charakteristische Werte Characteristic values

Durchlaßspannung	on-state voltage	$t_{vj} = t_{vj,\text{max}}, i_T = 80 \text{ A}$	$v_T$	max.	2 V
Schleusenspannung	threshold voltage	$t_{vj} = t_{vj,\text{max}}$	$v_{T(\text{TO})}$		1,2 V
Ersatzwiderstand	slope resistance	$t_{vj} = t_{vj,\text{max}}$	$r_T$		8 m $\Omega$
Zündstrom	gate trigger current	$t_{vj} = 25^\circ\text{C}, V_D = 6 \text{ V}$	$i_{GT}$	max.	150 mA
Zündspannung	gate trigger voltage	$t_{vj} = 25^\circ\text{C}, V_D = 6 \text{ V}$	$v_{GT}$	max.	2,5 V
Nicht zündender Steuerstrom	gate non trigger current	$t_{vj} = t_{vj,\text{max}}, V_D = 6 \text{ V}$	$i_{GD}$	max.	5 mA
Nicht zündende Steuerspannung	gate non trigger voltage	$t_{vj} = t_{vj,\text{max}}, V_D = 0,5 V_{\text{DRM}}$	$v_{GD}$	max.	0,2 V
Haltestrom	holding current	$t_{vj} = 25^\circ\text{C}, V_D = 6 \text{ V}, R_A = 10 \Omega$	$i_H$	max.	200 mA
Einraststrom	latching current	$t_{vj} = 25^\circ\text{C}, V_D = 6 \text{ V}, R_{RK} \geq 20 \Omega$ $i_{\text{GM}} = 0,6 \text{ A}, di_G/dt = 0,6 \text{ A}/\mu\text{s}, t_g = 10 \mu\text{s}$	$i_L$	max.	600 mA
Vorwärts- und Rückwärts-Sperrstrom	forward off-state and reverse currents	$t_{vj} = t_{vj,\text{max}}, V_D = V_{\text{DRM}}, V_R = V_{\text{RRM}}$	$i_D, i_R$	max.	8 mA
Zündverzug	gate controlled delay time	$t_{vj} = 25^\circ\text{C}, i_{\text{GM}} = 0,6 \text{ A}, di_G/dt = 0,6 \text{ A}/\mu\text{s}$ siehe Techn. Erl./see Techn. Inf.	$t_{gd}$	max.	1,2 $\mu\text{s}$
Freiwerdezeit	circuit commutated turn-off time		$t_q$	C:	max. 12 $\mu\text{s}$ D: max. 15 $\mu\text{s}$ E: max. 20 $\mu\text{s}$
Isolations-Prüfspannung	insulation test voltage	RMS, f = 50 Hz, t = 1 min	$v_{\text{ISOL}}$		2,5 kV

## Thermische Eigenschaften Thermal properties

Innerer Wärmewiderstand	thermal resistance, junction to case	$\Theta = 180^\circ\text{el}$ , sinus: pro Modul/per module DC: pro Zweig/per arm pro Modul/per module pro Zweig/per arm	$R_{\text{thJC}}$	max.	0,46°C/W 0,92°C/W 0,42°C/W 0,84°C/W
Übergangs-Wärmewiderstand	thermal resistance, case to heatsink	pro Modul/per module pro Zweig/per arm	$R_{\text{thCK}}$	max.	0,1 °C/W 0,2 °C/W
Höchstzul. Sperrsichttemperatur Betriebstemperatur Lagertemperatur	max. junction temperature operating temperature storage temperature		$t_{vj,\text{max}}$ $t_{c,\text{op}}$ $t_{stg}$		125°C - 40°C ... +125°C - 40°C ... +125°C

## Mechanische Eigenschaften Mechanical properties

Si-Elemente glaspassiviert, Lötkontakt Innere Isolation Anzugsdrehmomente mechanische Befestigung elektrische Anschlüsse Gewicht Kriechstrecke Schwingfestigkeit Maßbild	Si-pellets glass-passivated, soldered contact internal insulation tightening torques mounting torque terminal connection torque weight creepage distance vibration resistance outline	Toleranz/tolerance $\pm 15\%$ Toleranz/tolerance + 5%/- 10% $f = 50 \text{ Hz}$	M1 M2 G	Al <sub>2</sub> O <sub>3</sub> 4 Nm 4 Nm typ. 160 g 12,5 mm 5 · 9,81 m/s <sup>2</sup> 1
---	--	---	---------------	---

1) Werte nach DIN 41787 (ohne vorausgehende Kommutierung)/Values to DIN 41787 (without prior commutation)

2) Unmittelbar nach der Freiwerdezeit/Immediately after turn-off time

3) Nur mit dv/dt-Klasse B oder L/Only with dv/dt-class B or L

Daten der Dioden siehe unter DD 31 S

For data of the diode refer to DD 31 S

Recognized by UNDERWRITERS LABORATORIES INC.

## TT 25 F, TD 25 F, DT 25 F

Bild/Fig. 1, 2, 3

Höchstzulässige Strombelastbarkeit in Abhängigkeit von der Halbschwingungsdauer für einen Zweig bei:  
sinusförmigem Stromverlauf,  
der angegebenen Gehäusetemperatur  $t_C$ ,  
Vorwärts-Sperrspannung  $v_{DM} \leq 0,67 V_{DRM}$ ,  
Freiwerdezeit  $t_p$  gemäß 5. Kennbuchstaben,  
Spannungssteilheit  $dv_D/dt$  gemäß 6. Kennbuchstaben.

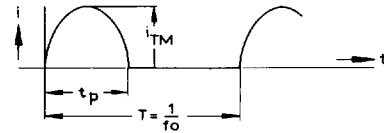
Ausschaltverlustleistung:

- berücksichtigt für den Betrieb bei  $f_0 = 50$  Hz...0,5 kHz für  $dv_R/dt \leq 500$  V/ $\mu$ s und Anstieg auf  $v_{RM} \leq 0,67 V_{FRM}$ ;
- nicht berücksichtigt für Betrieb bei  $f_0 \geq 1$  kHz. Diese Kurven gelten jedoch für den Betrieb mit antiparalleler Diode oder  $dv_R/dt \leq 100$  V/ $\mu$ s und Anstieg auf  $v_{RM} \leq 50$  V.

Maximum allowable current load versus halfwave duration per arm at:  
sinusoidal current waveform,  
given case temperature  $t_C$ ,  
forward off-state voltage  $v_{DM} \leq 0,67 V_{DRM}$ ,  
circuit commutated turn-off time  $t_p$  according to 5th code letter,  
rate of rise of voltage  $dv_D/dt$  according to 6th code letter.

Turn-off losses:

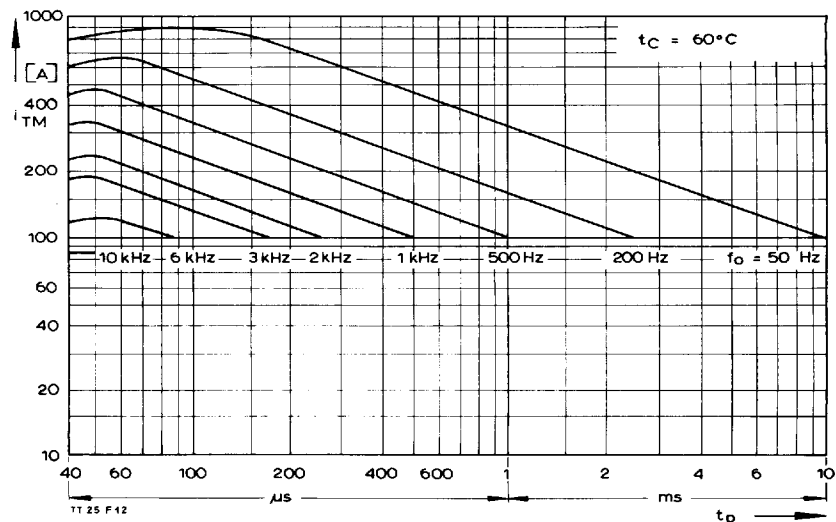
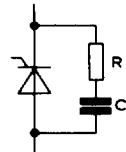
- taken into account for operation at  $f_0 = 50$  Hz to 0.5 kHz for  $dv_R/dt \leq 500$  V/ $\mu$ s and rise up to  $v_{RM} \leq 0,67 V_{FRM}$ ;
- not taken into account for operation at  $f_0 \geq 1$  kHz.  
But the curves are valid for operation with inverse paralleled diode or  $dv_R/dt \leq 100$  V/ $\mu$ s and rise up to  $v_{RM} \leq 50$  V.



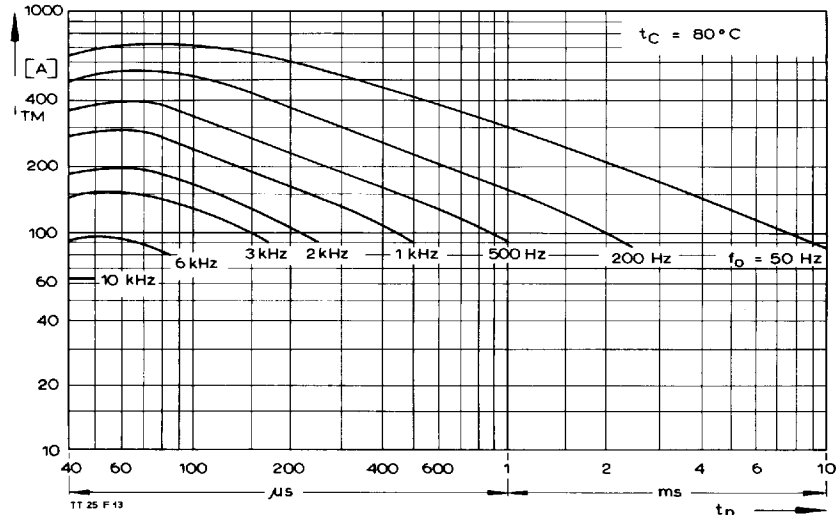
Parameter: Wiederholfrequenz  $f_0$  [kHz]  
Repetition rate  $f_0$  [kHz]

Steuergenerator/Pulse generator:  
 $v_L = 8$  V,  $i_G = 0,6$  A,  $t_a = 1$   $\mu$ s

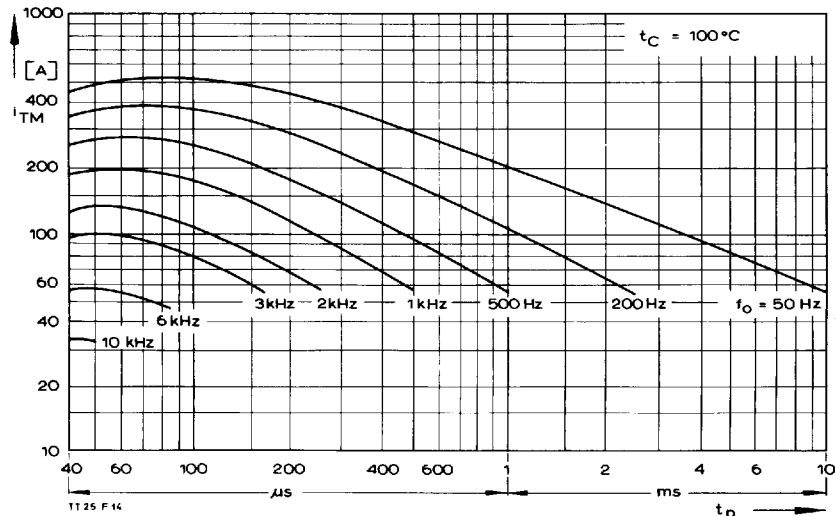
RC-Glied/RC network:  
 $R [\Omega] \geq 0,05 \cdot v_{DM}$  [V]  
 $C \leq 0,068 \mu$ F



Bild/Fig. 1



Bild/Fig. 2



Bild/Fig. 3

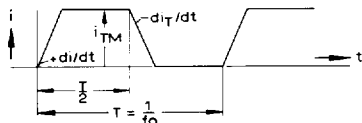
## TT 25 F, TD 25 F, DT 25 F

Bild/Fig. 4, 5, 6  
Höchstzulässige Strombelastbarkeit in Abhängigkeit von der Stromsteilheit für einen Zweig bei:  
trapezförmigem Stromverlauf,  
der angegebenen Gehäusetemperatur  $t_c$ ,  
Vorwärts-Sperrspannung  $V_{DM} \leq 0,67 V_{DRM}$ ,  
Freiwerdezeit  $t_a$  gemäß 5. Kennbuchstaben,  
Spannungssteilheit  $dv/dt$  gemäß 6. Kennbuchstaben.

Ausschalterverlustleistung berücksichtigt; die Kurven gelten für:  
Betrieb mit antiparalleler Diode oder  
 $dv_R/dt \leq 100 \text{ V}/\mu\text{s}$  bei Anstieg auf  $V_{RM} \leq 50 \text{ V}$   
 $dv_R/dt \leq 500 \text{ V}/\mu\text{s}$  und Anstieg auf  $V_{RM} = 0,67 V_{RRM}$ .

Maximum allowable current load versus rate of rise of current per arm at:  
trapezoidal current waveform,  
given case temperature  $t_c$ ,  
forward off-state voltage  $V_{DM} \leq 0,67 V_{DRM}$ ,  
circuit commutated turn-off time  $t_a$  according to 5th code letter,  
rate of rise of voltage  $dv/dt$  according to 6th code letter.

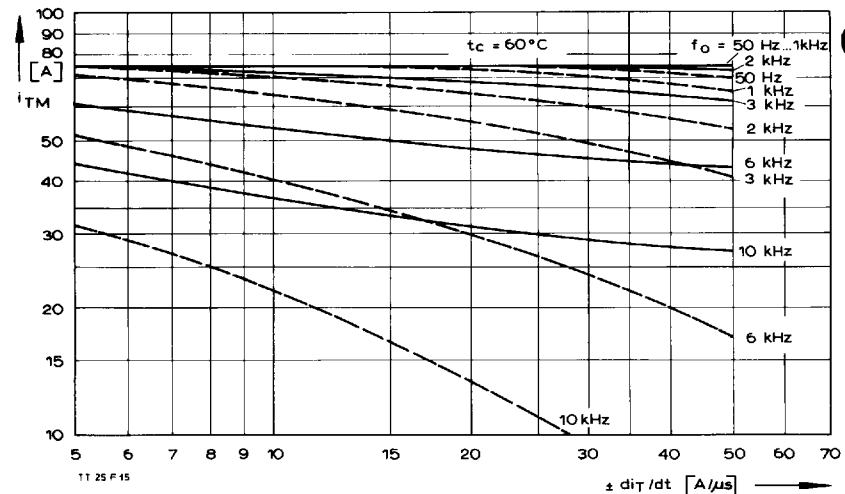
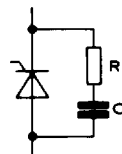
Turn-off losses taken into account; the curves apply for:  
Operation with inverse paralleled  
diode or  $dv_R/dt \leq 100 \text{ V}/\mu\text{s}$  rising up to  $V_{RM} \leq 50 \text{ V}$ .  
 $dv_R/dt \leq 500 \text{ V}/\mu\text{s}$  rising up to  $V_{RM} = 0,67 V_{RRM}$ .



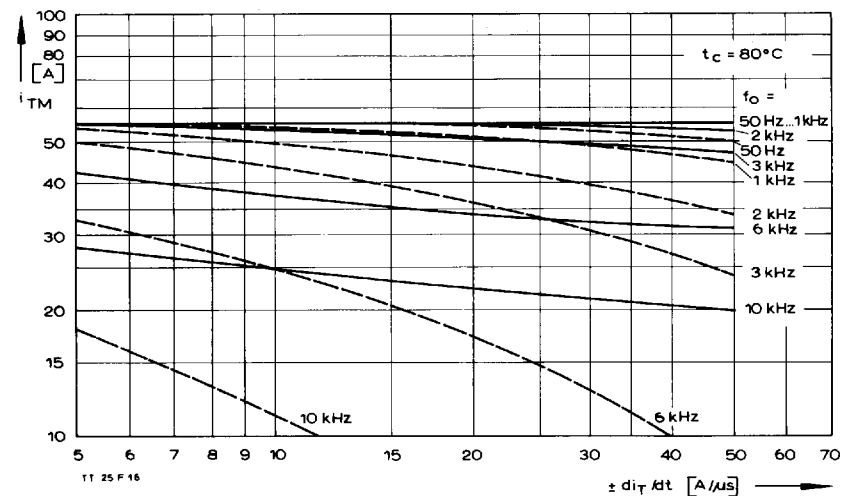
Parameter: Wiederholfrequenz  $f_0$  [kHz]  
Repetition rate  $f_0$  [kHz]

Steuergenerator/Pulse generator:  
 $V_L = 8 \text{ V}$ ,  $I_G = 0,6 \text{ A}$ ,  $t_a = 1 \mu\text{s}$

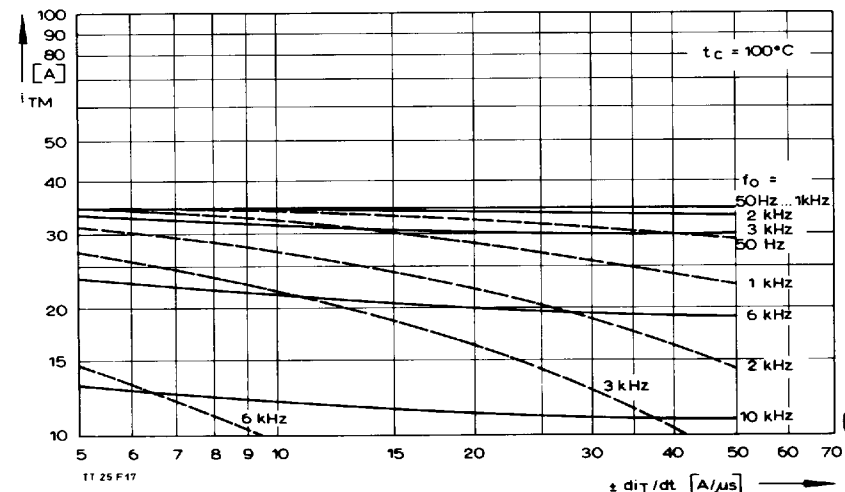
RC-Glied/RC network:  
 $R [\Omega] \geq 0,05 \cdot V_{DM} [\text{V}]$   
 $C \leq 0,1 \mu\text{F}$



Bild/Fig. 4



Bild/Fig. 5



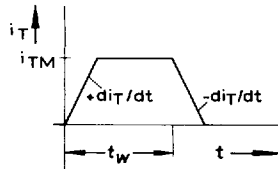
Bild/Fig. 6

## TT 25 F, TD 25 F, DT 25 F

Bild/Fig. 7, 8

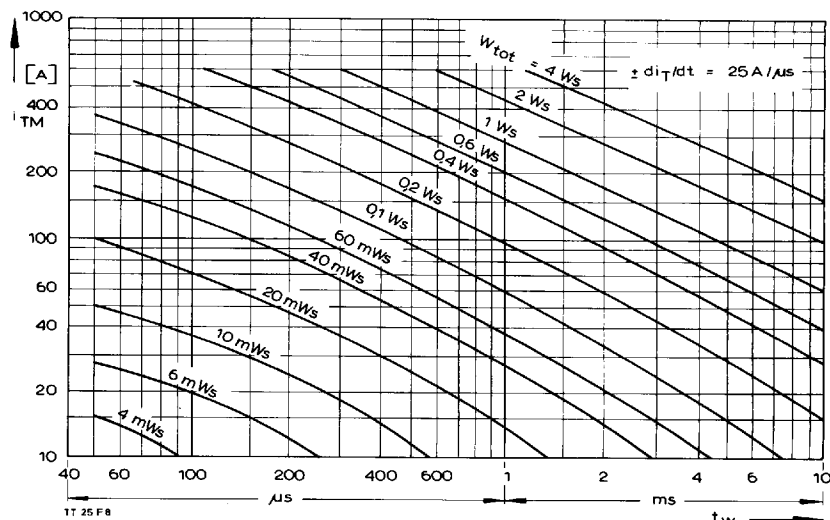
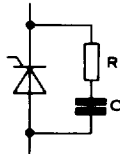
Diagramme zur Ermittlung der Gesamtenergie  $W_{tot}$  für einen trapezförmigen Durchlaß-Strompuls, für einen Zweig bei:  
der angegebenen Stromsteilheit  $di_T/dt$ ,  
Vorwärts-Sperrspannung  $V_{DM} \leq 0.67 V_{DRM}$ ,  
Rückwärts-Sperrspannung  $V_{RM} \leq 50 V$ ,  
Spannungssteilheit  $dv_R/dt \leq 100 V/\mu s$ .

Diagram for the determination of the total energy  $W_{tot}$  for a trapezoidal current pulse for one arm at:  
given rate of rise of on-state current  $di_T/dt$ ,  
forward off-state voltage  $V_{DM} \leq 0.67 V_{DRM}$ ,  
maximum reverse voltage  $V_{RM} \leq 50 V$ ,  
rate of rise of off-state voltage  $dv_R/dt \leq 100 V/\mu s$ .

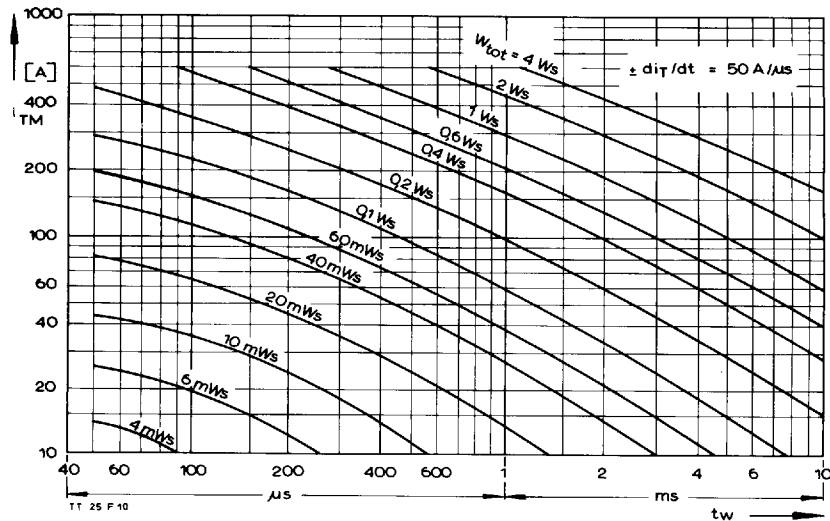


Steuergenerator/Pulse generator:  
 $V_L = 8 V$ ,  $i_G = 0.6 A$ ,  $t_a = 1 \mu s$

RC-Glied/RC network:  
 $R [\Omega] \geq 0.05 \cdot V_{DM} [V]$   
 $C \leq 0.1 \mu F$



Bild/Fig. 7



Bild/Fig. 8

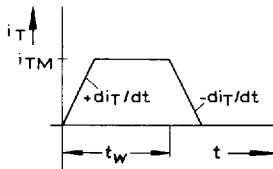
## TT 25 F, TD 25 F, DT 25 F

Bild/Fig. 9, 10

Diagramme zur Ermittlung der Gesamtenergie  $W_{\text{tot}}$  für einen trapezförmigen Durchlaß-Strompuls, für einen Zweig bei:  
der angegebenen Stromsteilheit  $di_T/dt$ ,  
Vorwärts-Sperrspannung  $v_{DM} \leq 0.67 V_{DRM}$ ,  
Rückwärts-Sperrspannung  $v_{RM} \leq 0.67 V_{RRM}$ ,  
Spannungssteilheit  $dv_R/dt \leq 500 V/\mu s$ .

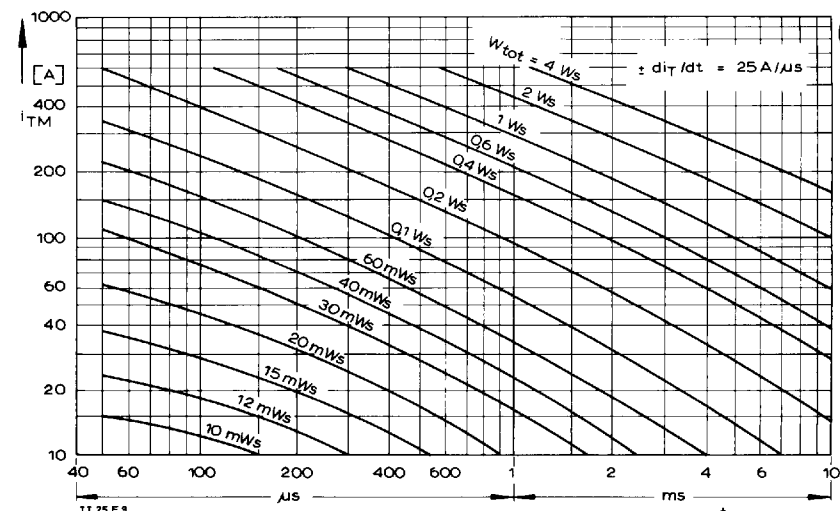
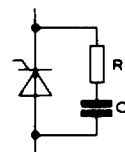
Diagram for the determination of the total energy  $W_{\text{tot}}$  for a trapezoidal current pulse for one arm at:

given rate of rise of on-state current  $di_T/dt$ ,  
forward off-state voltage  $v_{DM} \leq 0.67 V_{DRM}$ ,  
maximum reverse voltage  $v_{RM} \leq 0.67 V_{RRM}$ ,  
rate of rise of off-state voltage  $dv_R/dt \leq 500 V/\mu s$ .

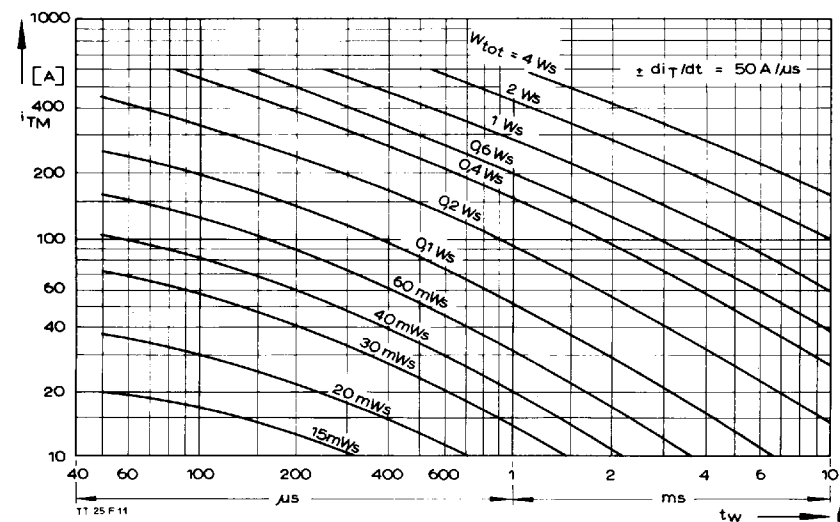


Steuergenerator/Pulse generator:  
 $v_L = 8 V$ ,  $i_G = 0.6 A$ ,  $t_a = 1 \mu s$

RC-Glied/RC network:  
 $R [\Omega] \geq 0.05 \cdot v_{DM} [V]$   
 $C \leq 0.1 \mu F$



Bild/Fig. 9

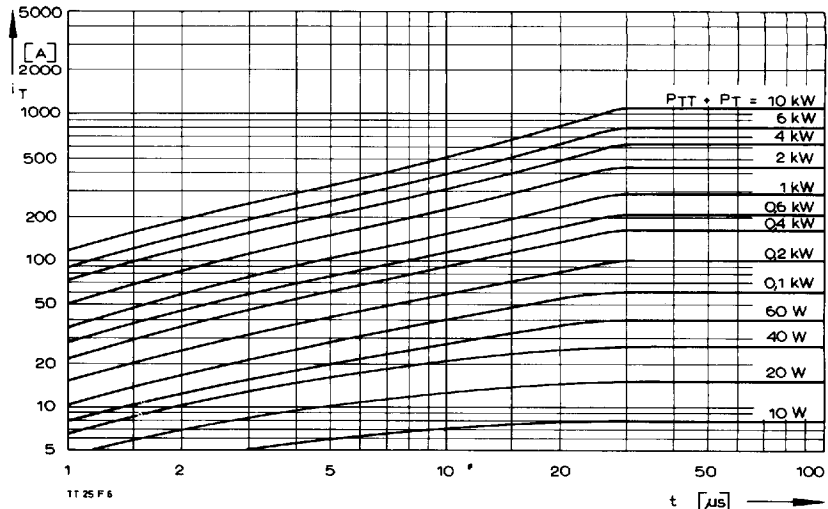


Bild/Fig. 10

## TT 25 F, TD 25 F, DT 25 F

Bild/Fig. 11

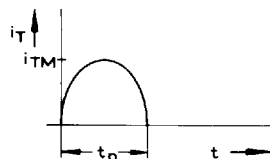
Diagramm zur Ermittlung der Summe aus Einschalt- und Durchlaßverlustleistung ( $P_{TT} + P_T$ ) je Zweig.  
Diagram for the determination of the sum of the turn-on and on-state power loss per arm ( $P_{TT} + P_T$ ).



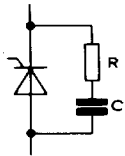
Bild/Fig. 12

Diagramm zur Ermittlung der Gesamtenergie  $W_{tot}$  für einen sinusförmigen Durchlaß-Strompuls, für einen Zweig.  
Diagram for the determination of the total energy  $W_{tot}$  for a sinusoidal on-state current pulse for one arm.

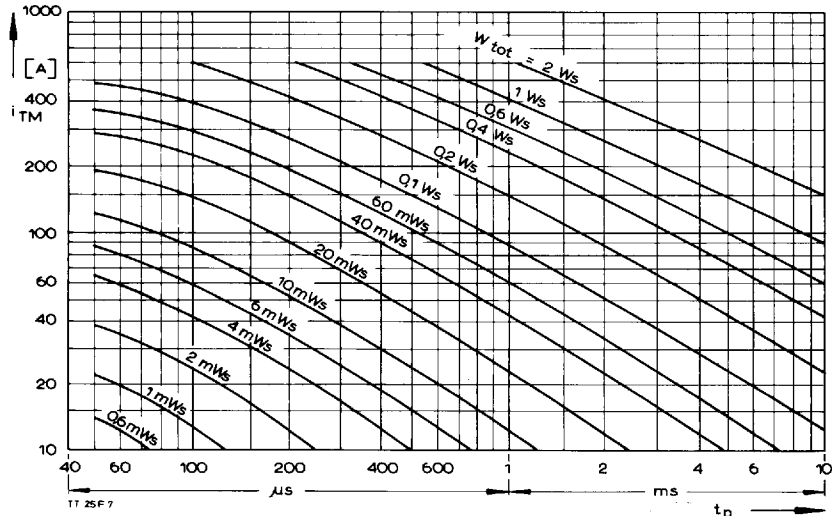
Lastkreis/load circuit:  
 $V_{DM} \leq 0,67 V_{DRM}$ ,  
 $V_{RM} \leq 50 V$ ,  
 $dV_R/dt \leq 100 V/\mu s$



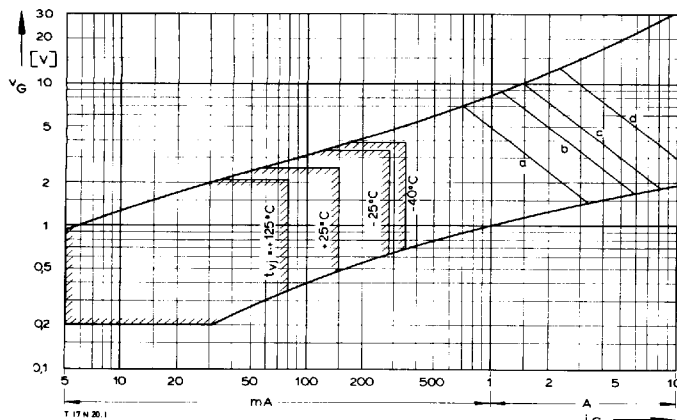
Steuergenerator/Pulse generator:  
 $V_L = 8 V$ ,  $i_G = 0,6 A$ ,  $t_a = 1 \mu s$



RC-Glied/RC network:  
 $R [\Omega] \geq 0,05 \cdot v_{DM} [V]$ ,  
 $C \leq 0,068 \mu F$

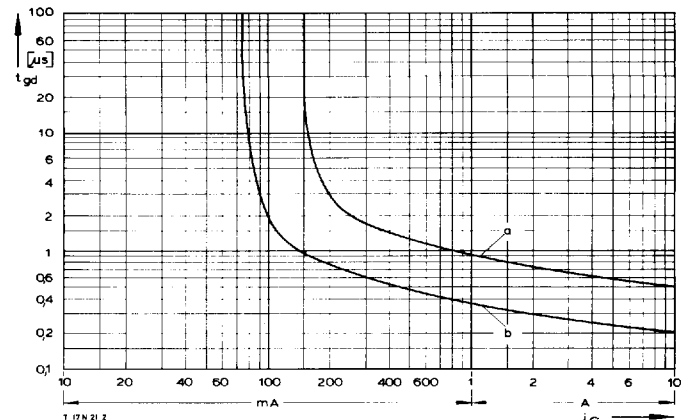


## TT 25 F, TD 25 F, DT 25 F

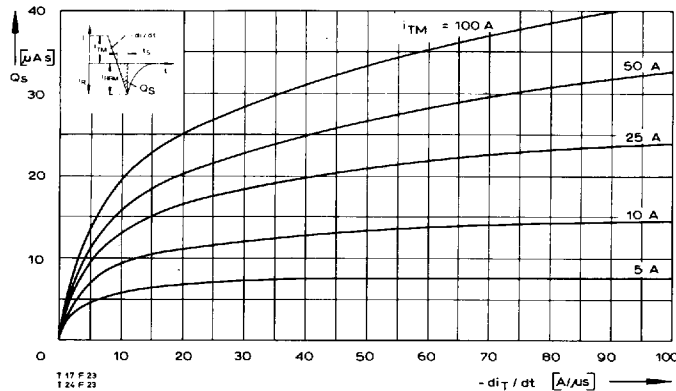


Bild/Fig. 13  
Zündbereich und Spitzesteuerleistung bei  $v_D = 6$  V.  
Gate characteristic and peak gate power dissipation at  $v_D = 6$  V.

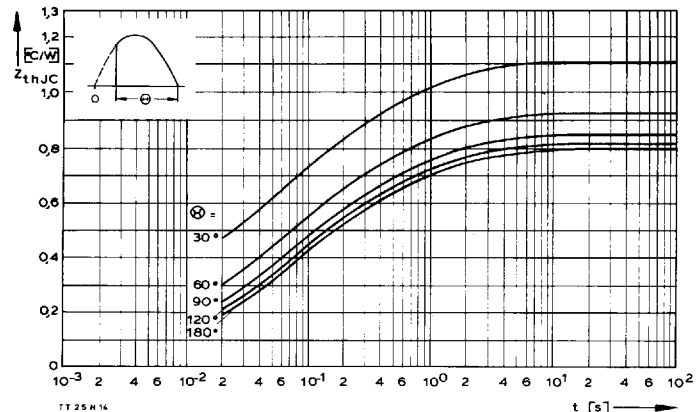
Parameter:	a	b	c	d
Steuerimpulsdauer/Pulse duration $t_g$ [ms]	10	1	0,5	0,1
Höchstzulässige Spitzesteuerleistung/ Maximum allowable peak gate power [W]	5	10	15	30



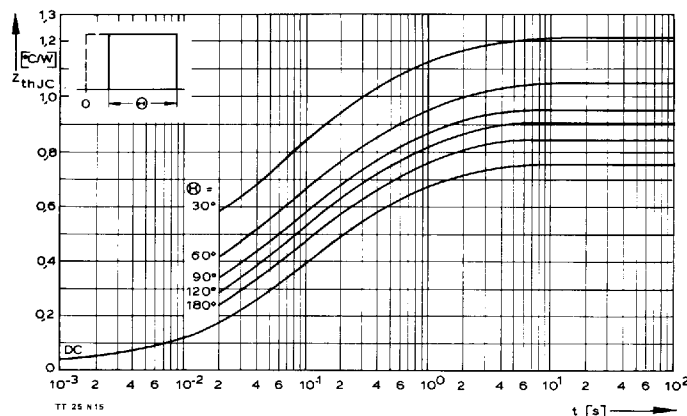
Bild/Fig. 14  
Zündverzug/Gate controlled delay time  $t_{gd}$ .  
DIN 41787,  $t_a = 1 \mu\text{s}$ ,  $t_b = 25^\circ\text{C}$ .  
a – äußerster Verlauf/limiting characteristic  
b – typischer Verlauf/typical characteristic



Bild/Fig. 16  
Typische Abhängigkeit der oberen Nachlaufladung  $Q_s$  von der abkommierenden Stromsteilheit  $-di_t/dt$  bei  $t_{vj\max}$ .  
Typical relationship between the maximum lag charge  $Q_s$  and the rate of decay of on-state current  $-di_t/dt$  at  $t_{vj\max}$ .



Bild/Fig. 17  
Transienter innerer Wärmewiderstand je Zweig  $Z_{thJC}$ .  
Transient thermal impedance per arm  $Z_{thJC}$ , junction to case.



Bild/Fig. 18  
Transienter innerer Wärmewiderstand je Zweig  $Z_{thJC}$ .  
Transient thermal impedance, junction to case, per arm  $Z_{thJC}$ .

Pos. n	1	2	3	4
$R_{thn}$ [ $^\circ\text{C}/\text{W}$ ]	0,0517	0,111	0,162	0,511
$\tau_n$ [s]	0,00153	0,00968	0,0501	0,173

$$Z_{thJC} = \sum_{n=1}^{n_{\max}} R_{thn} (1 - e^{-t/\tau_n})$$

Transienter Wärmewiderstand  $Z_{thJC}$  pro Zweig für DC.  
Transient thermal impedance  $Z_{thJC}$  per arm for DC.